

ОБЪЕДИНЕННЫЙ
ИНСТИТУТ
ЯДЕРНЫХ
ИССЛЕДОВАНИЙ
ДУБНА



7065

Она чит. зала

P9 - 7065

Ю.И.Алексахин, И.Л.Коренев, Л.А.Юдин

УСТОЙЧИВОСТЬ КОГЕРЕНТНЫХ КОЛЕБАНИЙ
ЭЛЕКТРОННОГО КОЛЬЦА В РЕЗОНАТОРЕ

Часть I. Азимутальные колебания

1973

ОТДЕЛ НОВЫХ МЕТОДОВ УСКОРЕНИЯ

P9 - 7065

Ю.И.Алексахин, И.Л.Коренев, Л.А.Юдин

УСТОЙЧИВОСТЬ КОГЕРЕНТНЫХ КОЛЕБАНИЙ
ЭЛЕКТРОННОГО КОЛЬЦА В РЕЗОНАТОРЕ

Часть I. Азимутальные колебания

Направлено в ЖТФ

Научно-техническая
библиотека
ОИЯИ

Известно, что наиболее опасные неустойчивости интенсивных пучков заряженных частиц связаны с когерентными эффектами /см., в частности, /1, 2/. Интерес к вопросам устойчивости когерентных колебаний возрос в связи с разработкой метода коллективного ускорения /3/. Формирование электронных колец, используемых в этом методе для ускорения тяжелых частиц, происходит в камере адгезатора /компрессора/, которую можно рассматривать как круглый цилиндрический резонатор с проводящими стенками. Поскольку время нахождения кольца в камере значительно больше характерных времен развития когерентных неустойчивостей, необходима по возможности более точная оценка влияния параметров резонатора и пучка на поведение последнего.

В /4/ были найдены инкременты неустойчивостей в случае совпадения частоты возмущения пучка с собственной частотой резонатора. Аналогичная задача с учетом энергетического разброса и адиабатического изменения магнитного поля решалась в /5/. Однако анализ поведения пучка лишь на резонансных частотах недостаточен, поскольку неустойчивости возможны и вне резонансов /неустойчивость отрицательной массы, резистивная неустойчивость/. Последнее обстоятельство тем более существенно, что соответствующим выбором геометрии камеры можно добиться удаления некоторых наиболее опасных резонансов из рабочей области частот.

В данной работе исследуется поведение малых когерентных возмущений плотности ультраколлимативистского электронного кольца ($y \gg 1$), помещенного в круглый цилиндрический резонатор радиуса b и высоты h , причем основное внимание уделяется нерезонансным эффектам.

Поведение n -й гармоники возмущения плотности заряда пучка, зависящей от времени t и азимута θ как $\exp[i(\Omega t - n\theta)]$, где Ω - частота возмущения, описывается дисперсионными уравнениями

$$I = -\omega_0^2 \alpha_{zz} \int \frac{f(\omega) d\omega}{(\Omega - n\omega)^2 - \omega_z^2}, \quad /1/$$

$$I = -\omega_0^2 \left[\alpha_{rr} + \frac{i\omega}{\Omega - n\omega} (\alpha_{r\theta} - \alpha_{\theta r}) + \frac{\omega^2}{(\Omega - n\omega)^2} \alpha_{\theta\theta} \right] \int \frac{f(\omega) d\omega}{(\Omega - n\omega)^2 - \omega_r^2} - \\ - \frac{\omega_0^2}{\gamma} \alpha_{\theta\theta} \int \frac{f(\omega) d\omega}{(\Omega - n\omega)^2}, \quad /2/$$

где $f(\omega)$ - функция распределения по частотам обращения в невозмущенном пучке, $\omega_0 = \int \omega f(\omega) d\omega$, $\beta_0 = \frac{\omega_0 r_0}{c}$, $\gamma = (1 - \beta_0^2)^{-1/2}$, r_0 - большой радиус кольца, $\omega_{r,z} = \omega \nu_{r,z}$ - частоты бетатронных колебаний. Коэффициенты α_{ik} определяются соотношениями /7/:

$$\alpha_{ik} = \frac{1}{m\gamma\omega_0^2} \frac{\partial \bar{F}_i}{\partial x_k},$$

\bar{F}_i - компоненты усредненной по сечению пучка силы Лоренца, связанной с возмущением, \vec{x} - вектор когерентного смещения поперечного сечения кольца.

Уравнения /1/, /2/ получены в предположении, что поля мало отличаются от своего среднего значения по сечению пучка; для цилиндрической волны это справедливо при $n \ll \frac{r_0}{a}$, где a - характерный размер сечения кольца /для выпрямленного пучка ограничение более

слабое - $n \ll \frac{\gamma r_0}{a}$ /.

Первая часть работы посвящена вопросам устойчивости азимутального движения. Если выполнены условия

$|\alpha_{ik}| \ll 1$, то уравнение /2/ имеет корни $\Omega \approx \omega_0 (n \pm \nu_r)$ и $\Omega \approx n\omega_0$, соответствующие радиальным и азимутальным колебаниям плотности кольца. Интересуясь решениями $\Omega \approx n\omega_0$ для пучка с характерной шириной распределения по частотам $\delta\omega$, удовлетворяющей соотношению

$$\delta\omega \approx \frac{\omega_0 \alpha}{r_0} \ll \nu_r \frac{\omega_0}{n}, \quad \text{в уравнении /2/ можно опустить}$$

слагаемые, не содержащие $(\Omega - n\omega)^{-2}$. В результате получим дисперсионное уравнение /1/:

$$I = -i \frac{\nu}{\beta_0 \gamma} \omega_0 \Omega \frac{c Z(n, \Omega)}{2\pi n} \left(\frac{1}{\nu_r^2} - \frac{1}{\gamma^2} \right) \int \frac{f'(\omega) d\omega}{\Omega - n\omega}, \quad /3/$$

где $\nu = \frac{e^2}{mc^2} \frac{N}{2\pi r_0}$ - "погонный электрон", N - полное число электронов в кольце, $Z(n, \Omega) = -\alpha_{\theta\theta} \frac{2\pi i}{\Omega r_0} \beta_0^2 \left(\frac{\nu}{\gamma} \right)^{-1}$ импеданс пучка в камере, определяемой также соотношением $2\pi r_0 \bar{E}_\theta = Z(n, \Omega) I_{n,\Omega}$, $I_{n,\Omega}$ - линейная плотность тока возмущения.

Для оценок влияния энергетического разброса в пучке воспользуемся наиболее просто анализируемым распределением Лоренца: $f(\omega) = \{ \pi \Delta\omega \cdot [1 + (\frac{\omega - \omega_0}{\Delta\omega})^2] \}^{-1}$,

$$\text{где } \Delta\omega = \frac{\omega_0}{\gamma} \left(\frac{1}{\nu_r^2} - \frac{1}{\gamma^2} \right) \Delta\nu,$$

Тогда при $\gamma \gg \nu_r$ уравнение /3/ сводится к виду

$$(p - ia)^2 = 2i\beta \tilde{Z}(n, \Omega). \quad /4/$$

Здесь введены обозначения $p = \frac{\Omega - n\omega_0}{n\omega_0}$, $a = \frac{\Delta\omega_0}{\omega_0} \approx \nu_r^{-2} \frac{\Delta\nu}{\gamma}$,

$\beta = \nu_r^{-2} \frac{\nu}{\gamma}$, $\tilde{Z} = \frac{cZ}{4\pi n} *$. Неустойчивости пучка соответствует решение уравнения /4/ с $\operatorname{Im} p < 0$.

Импеданс кольца в камере с проводящими стенками можно представить в виде $Z = Z_0 + \Delta Z$, где Z_0 - импеданс в случае идеально проводящих стенок; а ΔZ - добавка, связанная с конечной проводимостью.

Проанализируем вначале условия устойчивости при $\Delta Z = 0$, а затем рассмотрим влияние конечной проводимости.

1. Неустойчивость отрицательной массы /НОМ/

В нерезонансной области в случае идеально проводящих стенок камеры импеданс является чисто реактивным $\tilde{Z}_0 = iV$. Решая уравнение /4/ в предположении $\beta \ll 1$, получим

$$p = i(a \pm \sqrt{2\beta V}), \quad V > 0,$$

$$p = \pm \sqrt{2\beta|V|} + ia, \quad V < 0. \quad /5/$$

Таким образом, НОМ возможна только при $V > 0$, и условие ее подавления /1,2/:

$$V < \frac{1}{2} \frac{a^2}{\beta} = \frac{1}{2} \nu_r^{-2} \left(\frac{\nu}{\gamma} \right)^{-1} \left(\frac{\Delta \gamma}{\gamma} \right)^2. \quad /6/$$

Если же $V < 0$, то в пучке возможны когерентные синхронные колебания с относительной частотой $Q_\theta = n\sqrt{2\beta|V|}$; второе из решений /5/ суть комбинационные частоты $Re \Omega = \omega_0(n \pm Q_\theta)$. Очевидно, что затухание колебаний в пучке с резко спадающей функцией распределения может иметь место только в случае, когда угловая скорость волны $Re \Omega/n$ лежит в пределах разброса по частотам обращения, то есть когда $Q_\theta \leq n\alpha$.

* Значению $\tilde{Z} = 1$ соответствует величина импеданса $\frac{Z(n, 0)}{n} = 377$ ом.

При нахождении полей возмущения пренебрежем малым радиальным размером кольца и положим плотность заряда в невозмущенном пучке равной

$$\rho_0(r, z) = \frac{eN}{2\pi r_0} \delta(r - r_0) \frac{\sigma(a_z - |z|)}{2a_z}, \quad /7/$$

где $\sigma(x) = 1$ при $x > 0$ и $\sigma(x) = 0$ при $x < 0$, a_z - аксиальный размер пучка. Определяя поля методом разложения по собственным функциям резонатора, получим следующее выражение для импеданса:

$$\tilde{Z}_0 = i \frac{8\pi n}{khb^2} \sum_{s,q=1}^{\infty} \left[\frac{k^2 - k_r^2}{k_s^2 - k_n^2} \cdot \frac{J_n^2(k_r E r_0)}{k_r E N_{sE}^2} + \right. \\ \left. + \frac{\beta_0^2}{k^2 - k_n^2} \cdot \frac{J_n'^2(k_r H r_0)}{N_{sH}} \right] g_q^2, \quad /8/$$

где

$$N_{sE} = J_n'^2(\lambda_{ns}^E), \quad N_{sH} = [1 - (\frac{n}{\lambda_{ns}^H})^2] J_n^2(\lambda_{ns}^H)$$

- нормировочные множители,

$$k = \frac{\Omega}{c}, \quad k_z = \frac{\pi(2q-1)}{h}, \quad k_{rE,H} = \frac{\lambda_{ns}^{E,H}}{b}, \quad k_{nE,H} = (k_z^2 + k_{rE,H}^2)^{1/2},$$

$$g_q = \frac{\sin(k_z a_z)}{k_z a_z}, \quad J_n(\lambda_{ns}^E) = 0, \quad J_n'(\lambda_{ns}^H) = 0,$$

$J_n(x)$ и $J_n'(x)$ - функция Бесселя и ее производная по аргументу. Отметим характерное свойство импеданса /8/: при переходе через резонанс ($k = k_{nE,H}$) $\operatorname{Im} Z_0$ меняет знак. Таким образом, резонансная полоса, ширина которой определяется добротностью и величиной инкремен-

мента, разделяет области устойчивости и неустойчивости пучка относительно НОМ /для достаточно удаленных друг от друга резонансов/.

Импеданс /8/ можно представить в виде суммы двух частей - логарифмически зависящей от малых размеров кольца, которую будем называть квазистатической, и волновой, обусловленной цилиндрической геометрией полей: $Z_0 = Z_0^{\text{стат.}} + Z_0^{\text{волн.}}$. Проводя в формуле /8/ суммирование по индексу s /см. приложение/, найдем

$$\tilde{Z}_0^{\text{стат.}} = -\frac{i}{\gamma^2} \frac{4\pi n}{kh} \sum_{q=1}^{\infty} g_q^2 G''_{nH}\left(\frac{r_0}{b}, b \chi_q\right), \quad /9/$$

$$\tilde{Z}^{\text{волн.}} = i \frac{4\pi n}{kh} \sum_{q=1}^{\infty} \left[\left(1 + \frac{k^2}{\chi_q^2}\right) G_{nE}\left(\frac{r_0}{b}, b \chi_q\right) + G''_{nH}\left(\frac{r_0}{b}, b \chi_q\right) \right], \quad /10/$$

где $\chi_q = (k_z^2 - k^2)^{1/2}$. В предельном случае больших длин волн, когда выполнено условие

$$\frac{nh}{\pi r_0} \ll 1, \quad /11/$$

в формулах /9/, /10/ можно воспользоваться асимптотическими разложениями модифицированных функций Бесселя, входящих в $G_{nE, H}$. Вычисляя сумму /9/ при $\frac{\pi a_z}{h} \ll 1$, получим

$$\tilde{Z}_0^{\text{стат.}} = \frac{i}{\gamma^2} \left[\ln\left(\frac{eh}{\pi a_z}\right) \operatorname{th} \phi + \frac{1}{2} \right], \quad /12/$$

e - основание натуральных логарифмов, $\phi = \pi \cdot \frac{b-r_0}{h}$. Форма сечения пучка не оказывает существенного влияния на величину импеданса: так, для кольца круглого сечения радиуса a_z , $Z_0^{\text{стат.}}$ отличается от /12/ заменой e на 2 в аргументе логарифма.

В ультрарелятивистском пределе ($\gamma \rightarrow \infty$) $Z_0^{\text{стат.}} \rightarrow 0$ и основную роль играет волновая часть импеданса. Если кольцо близко к цилиндрической стенке ($\phi \ll 1$), то

$$\tilde{Z}_0^{\text{волн.}} = i \left(\frac{b-r_0}{b} \right)^2 \cdot \left(-\ln \phi + \frac{1}{2} \right). \quad /13/$$

В обратном случае ($\phi \gg 1$) имеем *

$$\tilde{Z}_0^{\text{волн.}} = i \left(\frac{h}{\pi r_0} \right)^2 \left[1 - 3 \left(\frac{nh}{\pi r_0} \right)^2 \right]. \quad /14/$$

При $\frac{\pi r_0}{h} < n \sqrt{3}$ импеданс индуктивный ($V < 0$), так что в узком резонаторе ($\frac{h}{b} \ll 1$) n -я гармоника при подходе к первому резонансу ($\frac{\pi r_0}{h} \sim n$) устойчива в довольно широком интервале частот даже при нулевом энергетическом разбросе ** /подчеркнем, что проводимость стенок предполагается бесконечной/. Максимальное значение волновой части импеданса достигается

$$\text{при } \frac{\pi r_0}{h} \sim n \sqrt{6} \text{ и равно } \tilde{Z}_{\max} \sim \frac{i}{12n^2}.$$

Результаты расчетов на ЭВМ по формуле /9/ приведены на рис. 1. Оценим для примера величину энергетического разброса, необходимого для устойчивости электрического кольца при $\nu = 0,06$, $\gamma = 7$, $\frac{h}{b} = 0,2$, $\frac{b}{r_0} = 1,25$,

$\frac{a}{r_0} = 0,03$, $\nu_r = 0,7$. Вычисления импеданса по формулам /12/, /14/ дают $\operatorname{Im} \tilde{Z}_0^{\text{стат.}} = 0,04$, $\operatorname{Im} \tilde{Z}_0^{\text{волн.}} = 0,007$. Для разброса, согласно условию /6/, получим $\frac{\Delta \gamma}{\gamma} \geq 2\%$.

* Первый член этого разложения был найден К.Пеллегрини и А. Сесслером в /7/. Для квазистатической части импеданса в той же работе получено вдвое большее значение, чем дает /12/.

** Этот факт, как и упомянутая неточность в работе /7/, был указан А.Г.Бонч-Осмоловским /8/.

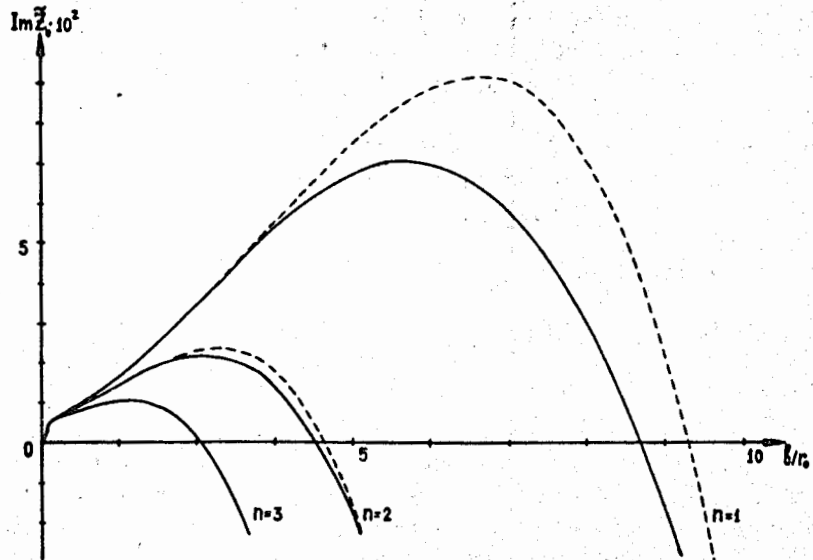


Рис. 1. Реактивная часть импеданса в зависимости от b/r_0 при $b/h = 5$.

Приведем еще одно представление для Z_0 волн.

$$Z_0^{\text{волн.}} = i \frac{2\pi}{b^2} \sum_{s=1}^{\infty} \left[\frac{\kappa_{sE} r_0}{k_{rE}^2}, \frac{J_n^2(k_{rE} r_0)}{N_{sE}} \operatorname{th}(\kappa_{sE} \frac{h}{2}) - \right. \\ \left. - \frac{r_0}{\kappa_{sH}} \frac{J_n'^2(k_{rH} r_0)}{N_{sH}} \operatorname{th}(\kappa_{sH} \frac{h}{2}) \right], \quad /15/$$

где $\kappa_{sE,H} = (k_{rE,H}^2 - k^2)^{1/2}$. Из /15/ легко видеть, что

при $h/b \rightarrow \infty Z_0$ переходит в выражение для реактивной части импеданса в волноводе /6,9,10/:

2. Резистивная неустойчивость

Найдем теперь резистивную поправку к импедансу. Для учета конечной проводимости воспользуемся граничным условием Леонтovichа

$$[\vec{n} E] = [\vec{n} [\vec{n} H]] \cdot (1+i) R, \quad /16/$$

где E и H - напряженности электрического и магнитного полей на поверхности проводника, n - внешняя нормально к проводящей границе, $R = (\frac{\Omega}{8\pi\sigma})^{1/2}$, σ - проводимость

стенок. Определяя резистивные поля как возмущение полей в идеальном резонаторе, найдем поправку в первом порядке по R : $\Delta Z = \Delta Z^{(1)} + \Delta Z^{(2)}$, где

$$\Delta \tilde{Z}^{(1)} = -(1+i) R \frac{2\pi r_0^2}{nhb} \sum_{q=1}^{\infty} \left\{ \frac{I'_n(x_q r_0)}{I_n^2(x_q b)} + \right. \\ \left. + \left(\frac{nk_z}{r_0 x_q^2} \right)^2 \left[\frac{I_n(x_q r_0)}{I_n(x_q b)} - \frac{r_0}{b} \frac{I'_n(x_q r_0)}{I'_n(x_q b)} \right]^2 \right\} \quad /17/$$

учитывает конечную проводимость цилиндрической поверхности, а

$$\Delta \tilde{Z}^{(2)} = -(1+i) R \frac{2\pi}{n} \sum_{s=1}^{\infty} \left\{ \left[\frac{n J_n(k_{rE} r_0)}{\lambda_{ns}^E \cdot \operatorname{ch}(\kappa_{sE} \frac{h}{2})} \right]^2 \frac{1}{N_{sE}} + \right. \\ \left. + \left[\frac{r_0}{b} \cdot \frac{J'_n(k_{rH} r_0)}{\operatorname{ch}(\kappa_{sH} \frac{h}{2})} \right]^2 \frac{1}{N_{sH}} \right\} \quad /18/$$

- конечную проводимость торцов. В пределе $h/b \gg l$, когда сумму можно заменить интегралом, выражение /17/

дает резистивную добавку к импедансу кольца в волноводе /6, 11/.

При выполнении условия /11/ имеем

$$\Delta \tilde{Z}^{(1)} = -(1+i)R \frac{2\pi r_0^2}{nh} \cdot \operatorname{sh}^{-1} 2\phi. \quad /19/$$

Если, кроме того, $\phi \gg l$, то

$$\Delta \tilde{Z}^{(2)} = -(1+i)R \frac{2r_0}{nh}. \quad /20/$$

В узком резонаторе ($h/b \ll 1$) резистивные эффекты определяются в основном конечной проводимостью торцевых стенок. На рис. 2 приведена зависимость величины $W = -\left(\frac{\sigma b}{c}\right)^{1/2} \operatorname{Re} \Delta \tilde{Z}^{(2)}$ от b/r_0 при $b/h=5$. Пунктирные кривые построены по формуле /20/.

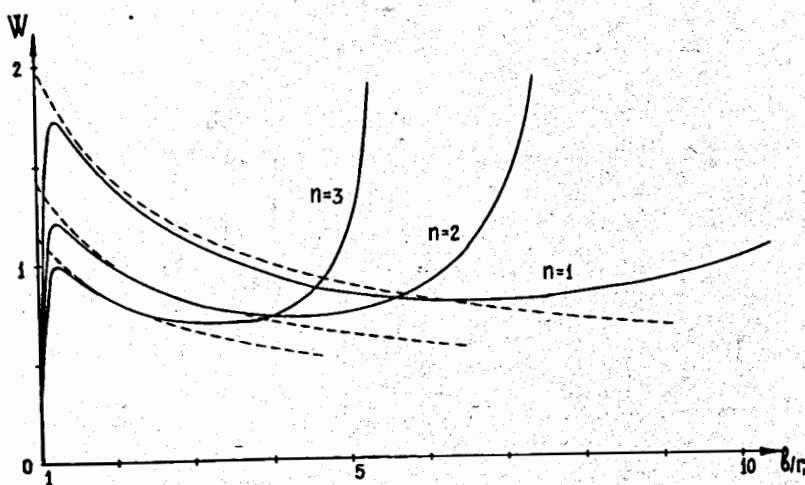


Рис. 2. Зависимость $W = -\left(\frac{\sigma b}{c}\right)^{1/2} \operatorname{Re} \Delta \tilde{Z}^{(2)}$ от b/r_0 при $b/h = 5$.

Обратимся теперь к решению дисперсионного уравнения /4/. Представляя импеданс в виде $\tilde{Z} = U + iV (U = \operatorname{Re} \Delta Z)$, получим

$$p = \pm \sqrt{\beta} (|\tilde{Z}| - V)^{1/2} + i[a \mp \sqrt{\beta} (|\tilde{Z}| + V)^{1/2}], \quad (U < 0).$$

В тех областях частот, где возможна НОМ ($V > 0$), малой резистивной добавкой можно пренебречь. Так, для приведенных выше параметров и $\sigma b/c = 5 \cdot 10^6$ $|U| \leq 10^{-3}$. Если же $V < 0$, резистивные эффекты - единственный источник неустойчивости, причем условие устойчивости можно записать в виде

$$\left(\frac{\Delta \gamma}{\gamma}\right)^2 > \frac{\nu}{\gamma} \nu^2 \frac{U^2}{2|V|}. \quad /21/$$

Если функция распределения обладает резко спадающими границами, то, как уже отмечалось, необходимо,

чтобы $\operatorname{Re} \frac{\Omega}{n}$ лежала в пределах разброса по частотам

обращения. Это приводит к более жесткому, нежели /21/, ограничению /2/. Так, для распределения Гаусса критерий устойчивости совпадает с /6/, в котором V следует заменить на $|\tilde{Z}|$.

3. Резонансная неустойчивость

Хотя этот тип неустойчивости исследовался ранее /4, 5/, мы коротко на нем остановимся, поскольку в указанных работах не учитывалась нерезонансная часть импеданса.

Как видно из выражения /8/, n -я гармоника может резонировать лишь при $r_0 < \frac{nh}{\pi}$, так что соответствующим выбором геометрии камеры можно избежать резонансов первых наиболее опасных гармоник.

При частоте возмущения, близкой к одной из собственных частот камеры ($\Omega = \omega_{\text{рез}} = c k_{nE,H}$), импеданс /8/ можно представить в виде

$$Z = i(\mathcal{P} + \mathcal{R} \frac{\omega}{\Delta \Omega}), \quad /22/$$

где \mathcal{P} - вклад нерезонансных мод в импеданс, $\Delta \Omega =$

$$\Delta \Omega = \Omega - \omega_{\text{рез.}} \cdot \frac{4\pi r_0}{h b^2 k_{nE}^2} \cdot \frac{k_z^2}{k_{rE}^2} \cdot \frac{J_n^2(k_{rE} r_0)}{N_{sE}}$$

для E -волн и

$$\mathcal{R} = \frac{4\pi r_0}{h b^2 k_{nH}^2} \cdot \frac{J_n'^2(k_{rH} r_0)}{N_{sH}}$$

для H -волн. Конечную проводимость стенок камеры учтем как комплексную поправку к собственной частоте за счет добротности Q , пренебрегая сдвигом собственной частоты $\omega_{\text{рез.}} = \omega_{\text{рез.}}^{(0)} \cdot (1 + \frac{i}{2Q})$.

Дисперсионное уравнение /4/ теперь принимает вид

$$(p_1 + \delta - i\alpha)^2 = -2\beta(\mathcal{P} + \frac{\mathcal{R}}{i \cdot 2Q}), \quad /23/$$

где $p = \frac{\Omega - \omega_{\text{рез.}}^{(0)}}{\pi \omega_0}$, $\delta = p - p_1$. В точном резонансе ($Re p_1 = 0$)

устойчивости ($Im p_1 \geq 0$) при фиксированных параметрах α и β будут соответствовать значения добротности

$$Q < Q_{\max} = \frac{\eta}{\mathcal{R}} \cdot (1 - \frac{\mathcal{P}}{\eta})^{1/2}, \quad /24/$$

$\eta = \alpha^2 / 2\beta$. Таким образом, при $\mathcal{P} > \eta$, что соответствует НОМ, пучок неустойчив независимо от величины Q . Если $\mathcal{P} < 0$, то для $Q = Q_{\max}$ относительная расстройка между действительной частью частоты возмущения и n -й гармоникой частоты обращения $\delta = \alpha(1 - \frac{\mathcal{P}}{\eta})^{1/2}$ больше полуширины распределения по частотам α . В результате

пучок с распределением гауссовского типа может быть неустойчив из-за экспоненциально малого числа частиц, что делает механизм затухания Ландау неэффективным /2/.

В узком резонаторе ($h/b \ll l$) при добротностях

$Q < (\frac{b}{h})^2$ ширина резонансных линий становится больше расстояния между ними и представление /22/ для импеданса неправомерно. Тогда импеданс в окрестности m -го резонанса можно приблизенно записать в виде

$$\tilde{Z} = -2 \sum_{\ell=m-L}^{m+L} Q_\ell \mathcal{R}_\ell + i \mathcal{P}, \quad /25/$$

где $2L = \frac{2}{Q} (\frac{b}{h})^2$ - число линий, перекрывающих m -й резонанс. Адиабатическое изменение частоты обращения пучка /5/ в этом случае, очевидно, несущественно, так как импеданс /25/ уже не имеет резонансного характера.

Зависимость \mathcal{P} от r_0/h для $n = 1, 2, 3$ при $L=0$ показана на рис. 3. На рис. 4 представлены коэффициенты \mathcal{R} для $n = 1, 2, 3$, $s = 1 \div 10$, $q = 1$.

Приведем в заключение формулы для добротности резонатора на E и H модах соответственно:

$$Q_{nE}^{-1} = \left(\frac{c}{2\pi\sigma k_{nE}} \right)^{1/2} \cdot \left(\frac{\epsilon_q}{h} + \frac{1}{b} \right) \quad /26/$$

$$Q_{nH}^{-1} = (b k_{nH})^{-2} \cdot \left(\frac{c}{2\pi\sigma k_{nH}} \right)^{1/2} \cdot \left[\left(\pi q \frac{b}{h} \right)^2 + \left(\frac{1}{h} + \right. \right. \quad /27/$$

$$\left. \left. \frac{n^2}{(\lambda_{ns}^H)^2 - n^2} \cdot \frac{1}{b} \right) + \frac{(\lambda_{ns}^H)^4}{(\lambda_{ns}^H)^2 - n^2} \cdot \frac{1}{b} \right],$$

$$\text{где } k_{nE,H}^2 = \left(\frac{\lambda_{ns}}{b} \right)^2 + \left(\frac{\pi q}{h} \right)^2, \quad \epsilon_q = \frac{1}{2} \quad \text{при } q = 0 \text{ и } \epsilon_q = 1$$

при $q = 1, 2, \dots$

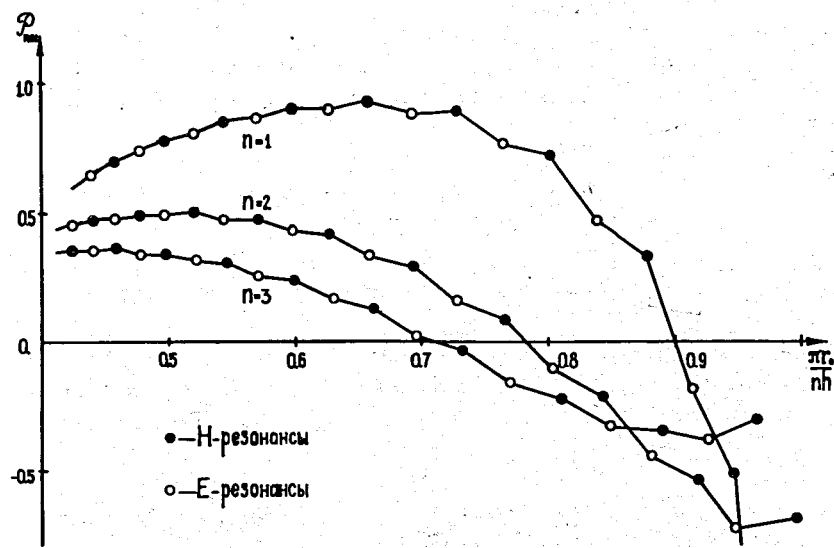


Рис. 3. Нерезонансная часть импеданса в зависимости от r_0/h для резонатора с $b/h = 5$.

Авторы пользуются случаем поблагодарить Э.А.Перельштейна за постоянный интерес к работе и стимулирующие обсуждения.

Приложение

Приведем формулы суммирования по корням бесселевых функций, которые были использованы при получении формул /9/, /10/, /17/, а также понадобятся во второй части работы. Согласно методу разложения Кнезера-Зоммерфельда /12/ имеем:

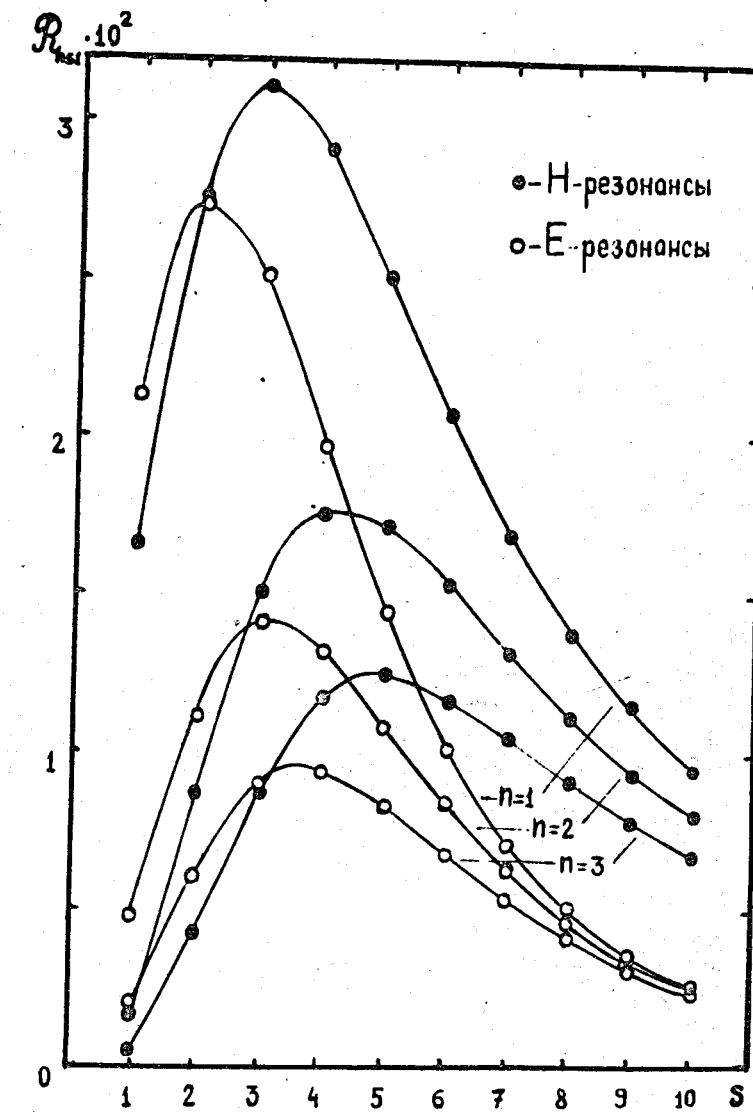


Рис. 4. Коэффициенты R_{ns1} для резонатора с $b/h = 5$.

$$\sum_{s=1}^{\infty} \frac{J_n(\lambda_{ns}^E x) J_n(\lambda_{ns}^E X)}{[z^2 - (\lambda_{ns}^E)^2] N_{sE}} = \frac{\pi J_n(xz)}{4 J_n(z)} \cdot [J_n(z) Y_n(Xz) - \\ - J_n(Xz) Y_n(z)],$$

$$\sum_{s=1}^{\infty} \frac{J_n(\lambda_{ns}^H x) J_n(\lambda_{ns}^H X)}{[z^2 - (\lambda_{ns}^H)^2] N_{sH}} = \frac{\pi J_n(xz)}{4 J'_n(z)} \cdot [J'_n(z) Y_n(Xz) - \\ - J_n(Xz) Y'_n(z)],$$

$$\sum_{s=1}^{\infty} \frac{J'_n(\lambda_{ns}^E x) J'_n(\lambda_{ns}^E X)}{[z^2 - (\lambda_{ns}^E)^2] N_{sE}} = - \frac{n}{4 z^2 X^2} \left(\frac{x}{X} \right)^{n-1} (1 + X^{2n}) + \\ + \frac{\pi J'_n(xz)}{4 J_n(z)} \cdot [J_n(z) Y'_n(Xz) - J'_n(Xz) Y_n(z)],$$

$$\sum_{s=1}^{\infty} \frac{J'_n(\lambda_{ns}^H x) J'_n(\lambda_{ns}^H X)}{[z^2 - (\lambda_{ns}^H)^2] N_{sH}} = - \frac{n}{4 z^2 X^2} \left(\frac{x}{X} \right)^{n-1} (1 - X^{2n}) + \\ + \frac{\pi J'_n(xz)}{4 J'_n(z)} \cdot [J'_n(z) Y'_n(Xz) - J'_n(Xz) Y'_n(z)],$$

где $Y_n(x)$ - функция Неймана, $0 \leq x \leq X \leq 1$. В тексте используются следующие обозначения:

$$G_{nE,H}(x, z) = I_n(xz) \cdot [K_n(xz) - I_n(xz) D_{nE,H}(z)],$$

$$G''_{nE,H}(xz) = I'_n(xz) \cdot [K'_n(xz) - I'_n(xz) D_{nE,H}(z)]$$

$$G'_{nE,H}(x, z) = \frac{1}{xz} \left[\frac{I}{2} (I'_n(xz) K_n(xz) + I_n(xz) K'_n(xz)) - I_n(xz) I'_n(xz) \right. \\ \left. D_{nE,H}(z) \right],$$

где $D_{nE} = K_n(z)/I_n(z)$, $D_{nH} = K'_n(z)/I'_n(z)$, $I_n(x)$ - модифицированная функция Бесселя, $K_n(x)$ - функция Макдональда.

Литература

1. А.А.Коломенский, А.Н.Лебедев. АЭ, 7, 549 /1959/.
2. V.K.Neil, A.M.Sessler. Rev. of Sci. Instr., 36, 429 (1965).
3. И.Н.Иванов и др. Коллективное ускорение ионов. ЭЧАЯ, т. 1, вып. 2.
4. И.Н.Иванов. Препринт ОИЯИ Р9-3474-2, Дубна, 1967.
5. В.П.Григорьев, А.Н.Диденко. ЖТФ, 40, 2283 /1970/.
6. I.L.Korenov, L.A.Yudin. Proc. of 8-th Intern. Conf. on High-Energy Accelerators. CERN, Geneva, 1972, p. 461.
7. C.Pellegrini, A.M.Sessler. Symp. ERA, LRL, Berkeley, Calif. 1968, p. 442.
8. А.Г.Бонч-Осмоловский. Препринт ОИЯИ, Р9-6318, Дубна, 1972.
9. А.Г.Бонч-Осмоловский, А.Э.Перельштейн. Радиофизика, XIII, №7, 1089, 1970.
10. И.Л.Коренев, Л.А.Юдин. Радиофизика, ХУ, №2, 271 /1972/.
11. И.Л.Коренев, Л.А.Юдин, Радиофизика, ХУ, №4, 637 /1972/.
12. Г.Н.Ватсон. Теория бесселевых функций, ч. 1, ИЛ, Москва, 1949.

Рукопись поступила в издательский отдел
9 апреля 1973 года.